

# Neural network theory and Applications

## Homework Assignment 1

汪旭鸿

017032910027

March 11, 2018

### Problem 1

One variation of the perceptron rule is:

$$\begin{aligned}\mathbf{W}^{new} &= \mathbf{W}^{old} + \alpha \mathbf{e} \mathbf{p}^T \\ \mathbf{b}^{new} &= \mathbf{b}^{old} + \alpha \mathbf{e}\end{aligned}$$

where  $\alpha$  is the learning rate. Prove convergence of this algorithm. Does the proof require a limit on the learning rate? Explain.

解答:

#### Part 1 记号说明:

设线性可分数据集:  $\{(p_1, t_1), (p_2, t_2), \dots, (p_N, t_N)\}$ , 标签值  $t_i \in \{-1, +1\}$   $i \in 1, 2, \dots, N$

感知机的输出:  $a = \text{handlim}(w p^T + b)$

为了便于推导, 记  $\hat{w} = (w^T, b)^T$  同样地, 记  $\hat{p} = (p^T, 1)^T$ 。显然,  $\hat{w} \cdot \hat{p} = w p^T + b$ 。

#### Part 2 证明

根据 Novikoff [1] 在 1963 年发表的文章, 我可以仿照他的工作进行以下推导:

##### Step 1

因为数据集线性可分, 所以一定存在的超平面将训练数据集完全正确分开。

设该超平面为:  $\hat{w}_{opt} \hat{p}^T = w_{opt} p^T + b_{opt} = 0$ , 且满足条件  $\|\hat{w}_{opt}\| = 1$  (范数为 1 便于计算,  $\|\hat{w}_{opt}\|$  的大小不影响超平面分布)。

因为数据集被正确分割, 所以对于有限的  $i \in 1, 2, \dots, N$ , 正样本分布在超平面以上, 负样本分布在超平面以下, 所以一定有:

$$t_i(\hat{w}_{opt} \hat{p}_i) = t_i(w_{opt} p_i + b_{opt}) > 0$$

所以上述不等式一定存在下界

$$\gamma = \min_i \{t_i(w_{opt}p_i + b_{opt})\} \quad (1)$$

$$\text{即: } \begin{cases} \hat{w}_{opt}\hat{p}_i \geq \gamma & t_i = 1(\text{正样本}) \\ \hat{w}_{opt}\hat{p}_i \leq -\gamma & t_i = -1(\text{负样本}) \end{cases}$$

## Step 2

跟据题目给定的变种感知机算法，假设初始参数 $\hat{w}_0 = 0$ ，如果样本被误分类，则参数 $\hat{w}_0$ 就必更新。参数 $\hat{w}_0$ 每更新一次，其下标加1，例如经过第k-1次更新，参数 $\hat{w}$ 会被表示成 $\hat{w}_{k-1}$ ，即 $\hat{w}_{k-1} = (w_{k-1}^T, b_{k-1})^T$ 。

假设参数 $\hat{w}$ 在经过k-1次更新之后，发现了样本 $(p_i, t_i)$ 被参数为 $\hat{w}_{k-1}$ 的感知机超平面误分类，那么感知机必须进行下一次更新。此时，存在不等式：

$$t_i(\hat{w}_{k-1}\hat{p}_i) = t_i(w_{k-1}p_i + b_{k-1}) \leq 0 \quad (2)$$

并且此时，根据题目要求，参数的更新为：

$$\hat{w}_k = \hat{w}_{k-1} + \alpha e\hat{p}_i = \hat{w}_{k-1} + \alpha(t_i - a_i)\hat{p}_i \quad (3)$$

当误分类时，总是存在关系：  $t_i - a_i = 2t_i$

(1) 由公式(1)及公式(3)可知，

$$\hat{w}_k\hat{w}_{opt} = \hat{w}_{k-1}\hat{w}_{opt} + \alpha(t_i - a_i)\hat{w}_{opt}\hat{p}_i \geq \hat{w}_{k-1}\hat{w}_{opt} + 2\alpha\gamma$$

由上述不等式递归可得：

$$\hat{w}_k\hat{w}_{opt} \geq \hat{w}_{k-1}\hat{w}_{opt} + 2\alpha\gamma \geq \hat{w}_{k-2}\hat{w}_{opt} + 4\alpha\gamma \geq \dots \geq 2k\alpha\gamma \quad (4)$$

(2) 由公式(3)和公式(2)得：

$$\begin{aligned} \|\hat{w}_k\|^2 &= \|\hat{w}_{k-1}\|^2 + 2\alpha(t_i - a_i)\hat{w}_{k-1}\hat{p}_i + \alpha^2(t_i - a_i)^2\|\hat{p}_i\|^2 \\ &\leq \|\hat{w}_{k-1}\|^2 + 4\alpha^2\|\hat{p}_i\|^2 \end{aligned}$$

$$\text{令 } R = \max_{1 \leq i \leq N} \|\hat{p}_i\|, \text{ 得:}$$

$$\leq \|\hat{w}_{k-1}\|^2 + 4\alpha^2R^2$$

$$\text{根据递归: } \leq \|\hat{w}_{k-2}\|^2 + 8\alpha^2R^2 \leq \dots \leq$$

$$\leq 4k\alpha^2R^2 \quad (5)$$

(3) 结合不等式(4)(5)可得，

$$2k\alpha\gamma \leq \hat{w}_k\hat{w}_{opt} \leq \|\hat{w}_k\|\|\hat{w}_{opt}\| \leq 2\sqrt{k}\alpha R$$

$$\text{结论: 最大误分类次数 } k: k \leq \left(\frac{R}{\gamma}\right)^2$$

$$\text{其中 } R = \max_{1 \leq i \leq N} \|\hat{p}_i\|, \gamma = \min_i \{t_i(\hat{w}_{opt}\hat{p}_i)\}$$

**Problem 2.**

Suppose the output of each neuron in a multilayer perceptron network is

$$x_{kj} = f \left( \sum_{i=1}^{N_{k-1}} (u_{kji}x_{k-1,i}^2 + v_{kji}x_{k-1,i}) + b_{kj} \right)$$

for  $k = 2, 3, \dots, M$  and  $j = 1, 2, \dots, N_k$

where both  $u_{kji}$  and  $v_{kji}$  are the weights connecting the  $i$ th unit in the layer  $k - 1$  to the  $j$ th unit in the layer  $k$ ,  $b_{kj}$  is the bias of the  $j$ th unit in the layer  $k$ ,  $N_k$  is the number of units in the  $k$  ( $1 \leq k \leq M$ ), and  $f(\cdot)$  is the sigmoidal activation function.

The structure of the unit is shown as the following figure, and this network is called multi-layer quadratic perceptron (MLQP).

Please derive the back-propagation algorithms for MLQPs in both on-line learning and batch learning ways.

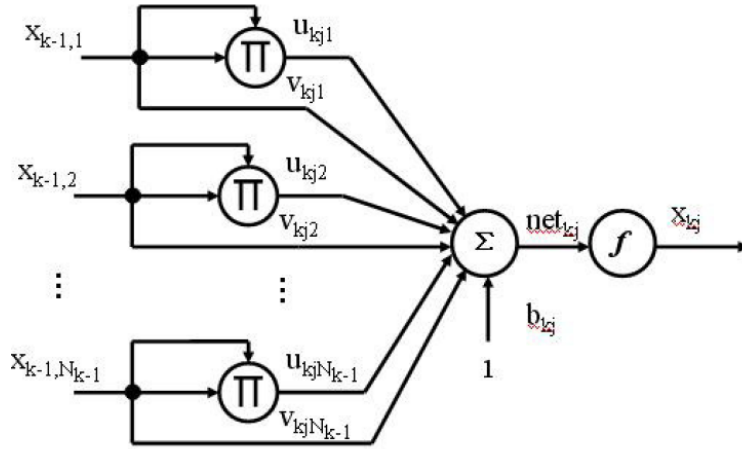


图 1: MLQP 神经元结构

**Solution Part a): 当第  $k$  层为输出层时:**

设第  $n$  次迭代时:  $k = 2, 3, \dots, M; j = 1, 2, \dots, N_k$

第  $k$  层第  $j$  个神经元的输出误差为:

$$e_{kj}(n) = d_{kj}(n) - x_{kj}(n) \quad (1)$$

第  $k$  层的整体输出误差为：

$$\varepsilon(n) = \frac{1}{2} \sum_j e_{kj}^2(n) \quad (2)$$

$$x_{kj}(n) = f(\text{net}_{kj}(n)) \quad (3)$$

其中激活函数  $f$  为 Sigmoid:  $f(x) = \frac{1}{1+e^{-x}}$

其导数  $f'(x) = \frac{e^{-x}}{(1+e^{-x})^2} = f(x)(1 - f(x))$

$$f'(\text{net}_{kj}(n)) = f(\text{net}_{kj}(n))(1 - f(\text{net}_{kj}(n))) \quad (4)$$

$$\text{net}_{kj}(n) = \sum_{i=1}^{N_{k-1}} (u_{kji}x_{k-1,i}^2 + v_{kji}x_{k-1,i}) + b_{kj} \quad (5)$$

应用求导链式法则：

**考虑在线学习 online learning 的情况：**

(1) 对于参数  $u_{kji}$

$$\frac{\partial \varepsilon(n)}{\partial u_{kji}(n)} = \frac{\partial \varepsilon(n)}{\partial e_{kj}(n)} \frac{\partial e_{kj}(n)}{\partial x_{kj}(n)} \frac{\partial x_{kj}(n)}{\partial \text{net}_{kj}(n)} \frac{\partial \text{net}_{kj}(n)}{\partial u_{kji}(n)} \quad (6)$$

根据公式 (1)(2)(3)(4)(5), 可以得到以下结果：

$$\frac{\partial \varepsilon(n)}{\partial u_{kji}(n)} = -e_{kj}(n)(1 - x_{kj}(n)) \sum_{i=1}^{N_{k-1}} x_{k-1,i}^2 \cdot x_{kj}(n) \quad (7)$$

$$\delta_{uj}(n) = e_{kj}(n)(1 - x_{kj}(n)) \sum_{i=1}^{N_{k-1}} x_{k-1,i}^2 \quad (8)$$

(2) 对于参数  $v_{kji}$

$$\frac{\partial \varepsilon(n)}{\partial v_{kji}(n)} = \frac{\partial \varepsilon(n)}{\partial e_{kj}(n)} \frac{\partial e_{kj}(n)}{\partial x_{kj}(n)} \frac{\partial x_{kj}(n)}{\partial \text{net}_{kj}(n)} \frac{\partial \text{net}_{kj}(n)}{\partial v_{kji}(n)} \quad (9)$$

同理可以得到以下结果：

$$\frac{\partial \varepsilon(n)}{\partial v_{kji}(n)} = -e_{kj}(n)(1 - x_{kj}(n)) \sum_{i=1}^{N_{k-1}} x_{k-1,i} \cdot x_{kj}(n) \quad (10)$$

$$\delta_{vj}(n) = e_{kj}(n)(1 - x_{kj}(n)) \sum_{i=1}^{N_{k-1}} x_{k-1,i} \quad (11)$$

(3) 对于参数  $b_{kj}$

$$\frac{\partial \varepsilon(n)}{\partial b_{kj}(n)} = \frac{\partial \varepsilon(n)}{\partial e_{kj}(n)} \frac{\partial e_{kj}(n)}{\partial x_{kj}(n)} \frac{\partial x_{kj}(n)}{\partial net_{kj}(n)} \frac{\partial net_{kj}(n)}{\partial b_{kj}(n)} \quad (12)$$

同理可以得到以下结果：

$$\frac{\partial \varepsilon(n)}{\partial b_{kj}(n)} = -e_{kj}(n)(1 - x_{kj}(n)) \cdot x_{kj}(n) \quad (13)$$

$$\delta_{bj}(n) = e_{kj}(n)(1 - x_{kj}(n)) \quad (14)$$

**考虑 batch learning 的情况：**

如果使用 batch learning，那么公式 (2) 会被替换为：

$$\varepsilon(n) = \frac{1}{2N} \sum_{n=1}^N \sum_j e_{kj}^2(n) \quad (15)$$

注：N 为样本数

所以对于 batch learning，上述的三条结论应该改为：

$$\frac{\partial \varepsilon(n)}{\partial u_{kji}(n)} = -\frac{1}{N} \sum_{n=1}^N (e_{kj}(n))(1 - x_{kj}(n)) \sum_{i=1}^{N_{k-1}} x_{k-1,i}^2 \cdot x_{kj}(n) \quad (16)$$

$$\delta_{uj}(n) = \frac{1}{N} \sum_{n=1}^N (e_{kj}(n))(1 - x_{kj}(n)) \sum_{i=1}^{N_{k-1}} x_{k-1,i}^2 \quad (17)$$

$$\frac{\partial \varepsilon(n)}{\partial v_{kji}(n)} = -\frac{1}{N} \sum_{n=1}^N (e_{kj}(n))(1 - x_{kj}(n)) \sum_{i=1}^{N_{k-1}} x_{k-1,i} \cdot x_{kj}(n) \quad (18)$$

$$\delta_{vj}(n) = \frac{1}{N} \sum_{n=1}^N (e_{kj}(n))(1 - x_{kj}(n)) \sum_{i=1}^{N_{k-1}} x_{k-1,i} \quad (19)$$

$$\frac{\partial \varepsilon(n)}{\partial b_{kj}(n)} = -\frac{1}{N} \sum_{n=1}^N (e_{kj}(n))(1 - x_{kj}(n)) \cdot x_{kj}(n) \quad (20)$$

$$\delta_{bj}(n) = \frac{1}{N} \sum_{n=1}^N (e_{kj}(n))(1 - x_{kj}(n)) \quad (21)$$

Part b): 当第  $k$  层为隐含层时, 假设第  $k+1$  层是输出层, 并存在第  $r$  个神经元:

$$\frac{\partial \varepsilon(n)}{\partial x_{kj}(n)} = \sum_r e_r(n) \frac{\partial e_r(n)}{\partial x_{kj}(n)} = \sum_r e_r(n) \frac{\partial e_r(n)}{\partial \text{net}_{k+1,r}(n)} \frac{\partial \text{net}_{k+1,r}(n)}{\partial x_{kj}(n)} \quad (22)$$

又因为,  $\varepsilon(n) = \frac{1}{2} \sum_r e_r^2(n)$ ,  $e_r(n) = d_r(n) - x_{k+1,r}(n) = d_r(n) - f(\text{net}_{k+1,r}(n))$ ,

所以

$$\begin{aligned} \frac{\partial e_r(n)}{\partial \text{net}_{k+1,r}(n)} &= -f'(\text{net}_{k+1,r}(n)) \\ &= -f(\text{net}_{k+1,r}(n)) (1 - f(\text{net}_{k+1,r}(n))) \\ &= -x_{k+1,r}(n) (1 - x_{k+1,r}(n)) \end{aligned} \quad (23)$$

$$\frac{\partial \text{net}_{k+1,r}(n)}{\partial x_{kj}(n)} = 2u_{k+1,rj}x_{kj}(n) + v_{k+1,rj} \quad (24)$$

所以公式 (22) 可最终化为:

$$\frac{\partial \varepsilon(n)}{\partial x_{kj}(n)} = - \sum_r e_r(n) x_{k+1,r}(n) (1 - x_{k+1,r}(n)) (2u_{k+1,rj}x_{kj}(n) + v_{k+1,rj}) \quad (25)$$

所以,

$$\delta_{uj}(n) = - \frac{\partial \varepsilon(n)}{\partial x_{kj}(n)} \frac{\partial x_{kj}(n)}{\partial \text{net}_{kj}(n)} \quad (26)$$

所以,

$$\frac{\partial \varepsilon(n)}{\partial u_{kji}(n)} = \delta_{uj}(n) \cdot x_{kj}(n) \quad (27)$$

同理,  $\frac{\partial \varepsilon(n)}{\partial v_{kji}(n)}$  也可根据式 (25)(26)(27) 求得。参考Part a), 同理易知batch learning

**Problem 3.** 在任务 3 中, 为了解决这个表情识别问题, 使用 Tensorflow 编写一个神经网络。

**Solution** 为了解决这个表情分类问题, 我建立了如图 2 所示的前馈型神经网络。代码请见附件 HW1 Problem3.py

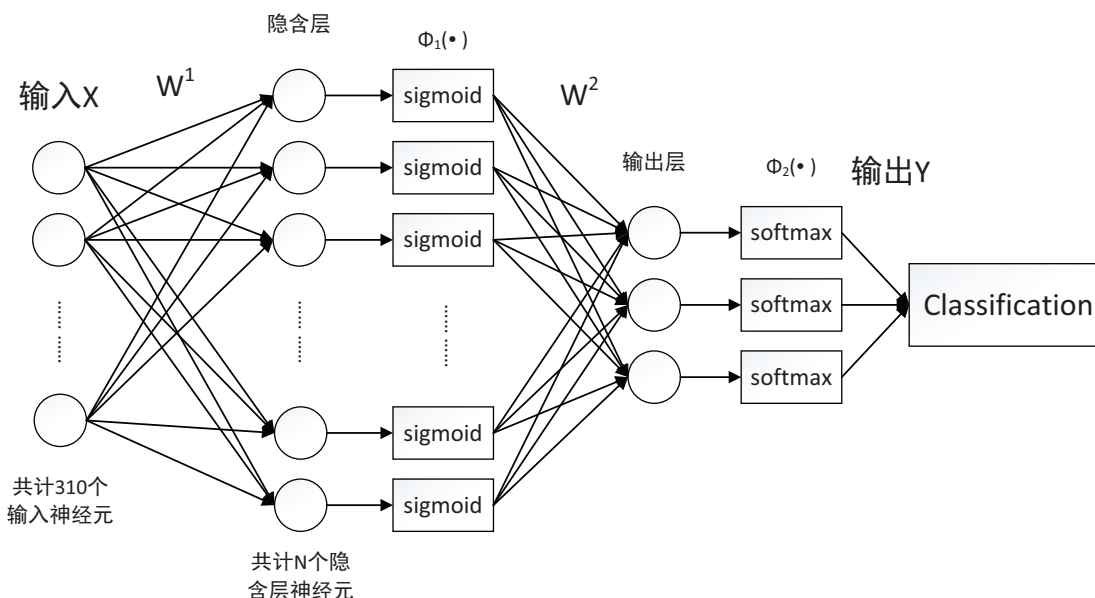


图 2: 三层神经网络结构

如果假设网络的输入是向量  $X$ , 输出是  $Y$  的话, 此网络可以用如下的解析式表示 (其中,  $W$  代表的是添加了偏置项的权重向量  $[w_1, w_2, \dots, b]^T$ ,  $X$  和  $Y$  同样也添加了偏置项'1'):

$$Y = \Phi_2(W^2 \Phi_1(W^1 X))$$

网络的损失函数定义为交叉熵 (Crossentropy)。注意, 为了使用交叉熵损失函数, 我事先将给定的 *trainlabel* 和 *testlabel* 数据都转为了 one-hot encoding 的格式。具体来说我将原来的 1 位标签  $\{-1, 0, 1\}$  转换成了三位标签  $\{001, 010, 100\}$ 。只有这种标签格式才是被交叉熵函数所接受的。

图 3 是我认为的解决这个表情分类问题比较好的训练结果。在这次训练中, 我使用了 128 个隐含层神经元, batch size 设置为 128, 优化器采用的是学习率为  $10^{-5}$  的 Adam 优化方法, 在经过 300 个 Epochs 之后, 这个模型取得了 80% 左右的准确率, 以及 0.97 左右的交叉熵损失。

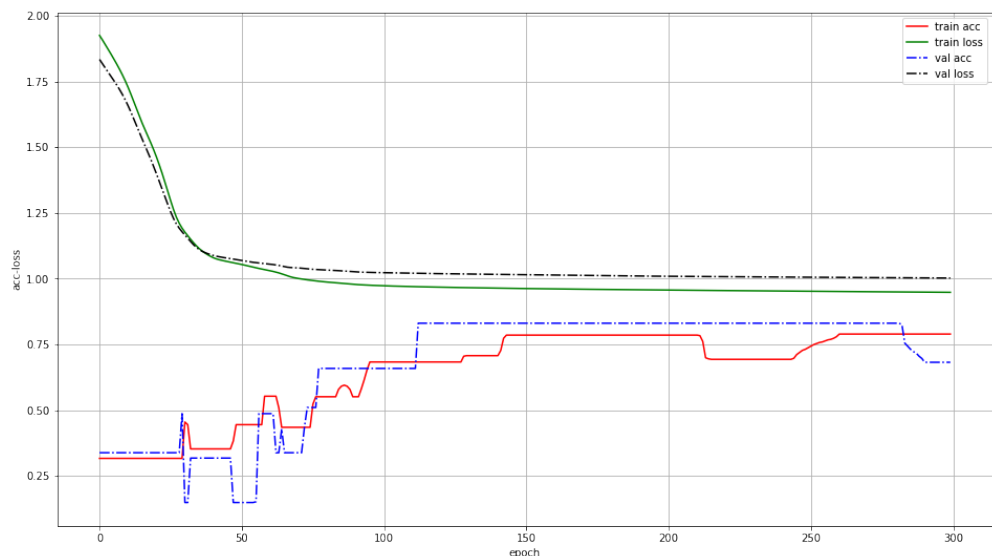


图 3: acc-loss 学习曲线

下表是本次实验中使用不同的参数得到的最终结果，在这里我采用了 earlystopping 机制，如果 loss 经过 5 次 epochs 不再下降，就停止训练。

隐含层个数	学习率	train_loss	test_loss	epochs to stable
512	$10^{-3}$	0.9384	0.9922	17
512	$10^{-4}$	0.8294	0.8910	59
512	$10^{-5}$	0.8360	0.9159	123
256	$10^{-3}$	1.0581	1.0854	98
256	$10^{-4}$	0.8799	0.9207	86
256	$10^{-5}$	0.8360	0.9159	120
128	$10^{-3}$	1.0642	1.0646	34
128	$10^{-4}$	0.9644	0.9937	39
128	$10^{-5}$	0.9943	1.0185	68

结论 1: 根据上表以及其他实验过程可知，128 层的隐含层和  $10^{-5}$  的 Adam 学习率是最好的超参数搭配。

结论 2: 当隐含层神经元个数过多时，网络训练非常容易过拟合，即便达到了较低的 loss 也只是假象；当隐含层神经元个数过少（如 64）时，网络不断震荡，根本无法得到靠谱的 loss。

结论 3: 在这个表情识别任务、该三层神经网络的背景下，在大部分情况中  $10^{-5}$  是一个较好的学习率，它可以保证模型在尽量避免过拟合及震荡不收敛的条件下，达到较优的 loss 和准确率。



## 参考文献

- [1] Novikoff A B J. On convergence proofs for perceptrons[R]. STANFORD RESEARCH INST  
MENLO PARK CALIF, 1963.